

せん断力を考慮した平板の極限解析

大阪市立大学 工学部 正員 倉田宗章
 " " " ○園田恵一郎
 " " " 大学院 学生員 岸本修治

序 本研究においては、引張強度と圧縮強度が異なる弾塑性材料から成る平板の曲げモーメントとせん断力に関する降伏条件式を誘導し、それに基づいて、平板の極限強度問題に対する数値解法を提示した。

1. 曲げモーメントとせん断力に関する降伏条件式

引張強度と圧縮強度と異なる材料の降伏条件式として、Mises の式を変形した次式を用いる。

$\alpha k J_1 + J_2 = k^2$ —— (1), ここで J_1, J_2 は 1 次、2 次の応力不变量, α, k は材料定数 ($\alpha = 0$ の場合は Mises の式に一致する)

板面に垂直な方向の応力 σ_z の影響を無視すれば、断面要素に対する式(1)は、

$$F = \sigma_x^2 - \sigma_x \sigma_y + \sigma_y^2 + \sqrt{3} \alpha \sigma_z (\sigma_x + \sigma_y) + 3 \tau^2 = \sigma_0^2 \quad (2)$$

ここに, $\sigma_0 = \sqrt{3}k$, $\tau^2 = \tau_{xy}^2 + \tau_{xz}^2 + \tau_{yz}^2$, なお、一軸圧縮降伏応力に対する一軸引張降伏応力の比を δ とすれば, $\alpha = (1-\delta)\sqrt{1/3\delta}$ の関係がある。

(a) 静的許容応力場からのアプローチ (下界)

x, y 軸を主モーメント方向とする。図. 1 に示すように一定応力場を考える。

$$\left. \begin{aligned} N_x &= \int_0^h \sigma_x dz = h \{ \eta \sigma_{x1} + (1-\eta) \sigma_{x2} \} = 0 \\ N_y &= \int_0^h \sigma_y dz = h \{ \eta \sigma_{y1} + (1-\eta) \sigma_{y2} \} = 0 \end{aligned} \right\} \quad (3)$$

(3) 式より、

$$\left. \begin{aligned} M_x &= \int_0^h \sigma_x z dz = -\frac{h\eta}{2} \sigma_{x1} \\ M_y &= \int_0^h \sigma_y z dz = -\frac{h\eta}{2} \sigma_{y1} \\ Q &= \int_0^h \tau z dz = h \{ \eta \tau_{x1} + (1-\eta) \tau_{x2} \} \end{aligned} \right\} \quad (4)$$

(2) を上式に代入し, $M_x/M_y = \lambda$ とおいて整理すれば、

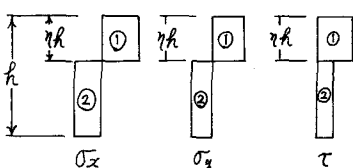


図. 1

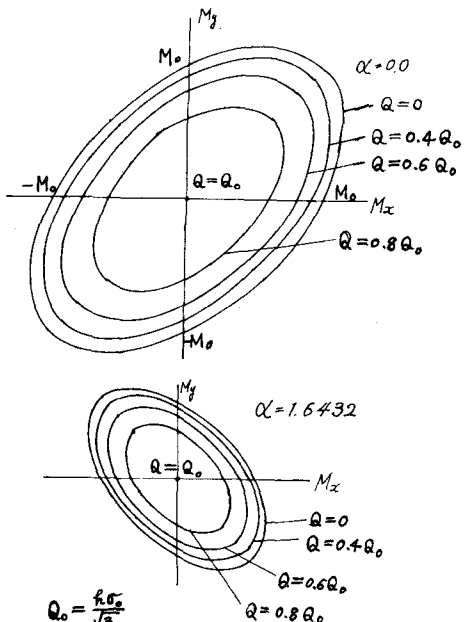


図. 2 降伏曲線 (下界)

$$\sqrt{3}hQ = \frac{\sqrt{\sigma_0^2\eta^2 - 4(1-\lambda+\lambda^2)M_y^2 + 2\sqrt{3}\alpha\sigma_0\eta(1+\lambda)M_y}}{(1-\eta)M_y} + \sqrt{(1-\eta)^2\sigma_0^2 - 4(1-\lambda+\lambda^2)M_y^2 - 2\sqrt{3}\alpha\sigma_0(1+\lambda)}$$
(5)

$$\frac{\partial Q}{\partial \eta} = 0 \text{ より}, \quad \eta = \frac{1}{2} - \sqrt{3}\alpha(1+\lambda)M_y \quad (6)$$

(6)を(5)に代入し、 $\lambda M_y = M_x$ の関係を用いれば、

$$(1 + \frac{3}{4}\alpha^2)M_x^2 - (1 - \frac{3}{2}\alpha^2)M_xM_y + (1 + \frac{3}{4}\alpha^2)M_y^2 + \frac{3h^2}{16}Q^2 = M_0^2 \quad (7)$$

$$\text{ここに, } M_0 = \sigma_0 h^2 / 4, \alpha' = 0, \alpha = \frac{M_x/M_0}{\sqrt{3}}$$

1.6432 に対する式(7)の曲線を図-2に示す。

なお、 x, y 軸が主モーメントの方向と一致しない場合は、

$$(1 + \frac{3}{4}\alpha^2)M_x^2 - (1 - \frac{3}{2}\alpha^2)M_xM_y + (1 + \frac{3}{4}\alpha^2)M_y^2 + 3M_{xy}^2 + \frac{3h^2}{16}Q^2 = M_0^2 \quad (7')$$

(b) 運動学的許容速度場からのアプローチ(上界)

x, y および z 方向の速度を u, v, w とし、断面内の速度分布を中央面上の速度 U_0, V_0, W_0 と回転速度 θ_x, θ_y で表わせば、

$$w = W_0, \quad u = U_0 + \theta_x z, \quad v = V_0 + \theta_y z \quad (8)$$

$$\dot{e}_x = \frac{\partial u}{\partial x} = \frac{\partial U_0}{\partial x} + \theta_x \frac{\partial z}{\partial x}, \quad \dot{e}_y = \frac{\partial v}{\partial y} = \frac{\partial V_0}{\partial y} + \theta_y \frac{\partial z}{\partial y}, \quad \dot{e}_z = \frac{\partial w}{\partial z} = \theta_x + \frac{\partial w_0}{\partial x},$$

$$\dot{j}_x = \frac{\partial v}{\partial z} + \frac{\partial w}{\partial y} = \theta_y + \frac{\partial w_0}{\partial y} \quad (9)$$

$$(9) より, \quad \dot{e}_x = \bar{e}_x + \dot{k}_x \bar{z}, \quad \dot{e}_y = \bar{e}_y + \dot{k}_y \bar{z}, \quad \dot{e}_z = \bar{e}_z, \quad \dot{j}_x = \bar{j}_x, \quad \dot{j}_y = \bar{j}_y \quad (10)$$

$$\text{ここに, } \bar{e}_x = \frac{\partial U_0}{\partial x}, \quad \bar{e}_y = \frac{\partial V_0}{\partial y}, \quad \dot{k}_x = \frac{\partial \dot{e}_x}{\partial x} - \frac{\partial^2 w_0}{\partial x^2}, \quad \dot{k}_y = \frac{\partial \dot{e}_y}{\partial y} - \frac{\partial^2 w_0}{\partial y^2}$$

流れ法則より、

$$\dot{e}_x = d\lambda \frac{\partial F}{\partial \dot{x}} = d\lambda (2\bar{e}_x - \bar{e}_y + \sqrt{3}\alpha\sigma_0), \quad \dot{e}_y = d\lambda \frac{\partial F}{\partial \dot{y}} = d\lambda (2\bar{e}_y - \bar{e}_x + \sqrt{3}\alpha\sigma_0), \quad \dot{j} = d\lambda \frac{\partial F}{\partial \dot{z}} = 6d\lambda T, \quad \text{ここに, } d\lambda \text{ は塑性流れ係数, } j^2 = \dot{x}^2 + \dot{y}^2. \quad \eta = \bar{e}_x / \dot{k}_x \text{ と, } \xi = \bar{e}_y / \dot{k}_y \text{ と, } \dot{k}_x / \dot{k}_y = \mu, \bar{r} / 2\dot{k}_y = \lambda \text{ とおけば, (2), (10) より,}$$

$$\frac{\bar{e}_x}{\sigma_0} = \pm(\mu) \frac{2\mu\eta + \xi + (2\mu+1)\bar{z}}{\sqrt{\bar{z}^2 + f(\xi, \eta)\bar{z} + g(\xi, \eta, \lambda)}} - \sqrt{3}\alpha, \quad \frac{\bar{e}_y}{\sigma_0} = \pm(\mu) \frac{2\xi + \mu\eta + \bar{z}(2+\mu)}{\sqrt{\bar{z}^2 + f(\xi, \eta)\bar{z} + g(\xi, \eta, \lambda)}} - \sqrt{3}\alpha \quad (11)$$

$$\frac{T}{\sigma_0} = \frac{\pm(\mu)\bar{r}}{2} \frac{1}{\sqrt{\bar{z}^2 + f(\xi, \eta)\bar{z} + g(\xi, \eta, \lambda)}}, \quad \pm(\mu) = \frac{\sqrt{3}(1+3\alpha^2)}{3\sqrt{1+\mu+\mu^2}}, \quad f(\xi, \eta) = \frac{2\xi + 2\eta\mu^2 + (\xi+\eta)\mu}{1+\mu+\mu^2} \quad (11)$$

$$g(\xi, \eta, \lambda) = \frac{\xi^2 + \eta^2\mu^2 + (\xi\mu + \lambda)^2}{1+\mu+\mu^2}$$

$$N_x = \int_{-\frac{h}{2}}^{\frac{h}{2}} \bar{e}_x dz = 0, \quad N_y = \int_{-\frac{h}{2}}^{\frac{h}{2}} \bar{e}_y dz = 0 \quad (12)$$

$$M_x = \int_{-\frac{h}{2}}^{\frac{h}{2}} \bar{e}_x \bar{z} dz, \quad M_y = \int_{-\frac{h}{2}}^{\frac{h}{2}} \bar{e}_y \bar{z} dz, \quad Q = \int_{-\frac{h}{2}}^{\frac{h}{2}} T \bar{z} dz \quad (13)$$

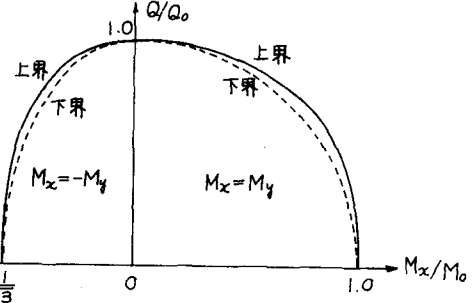


図-3 降伏曲線($\alpha = 0$)

降伏条件は、 $M_x = M_y$, $M_x = -M_y$, $Q = 0$ 平面に関して対称であるから、 $-1 \leq \mu \leq 1$, $0 \leq \lambda < \infty$ に対して(12)より、 γ , χ の値を数値的に求め、(13)に代入すれば、上界の降伏条件式が得られる。 $\alpha = 0$ に対する計算結果を図.3に示す。

2. 円板の極限解析法

下界定理に基づく数値解法を考える。無次元化したモーメント、せん断力 $m = M/M_0$, $t = M_0/M_0$, $\beta = Q/Q_0$ を導入すれば、極限荷重 P の決定問題は、

$$\begin{aligned} &\text{Maximize } P \\ &F(m_i, t_i, \beta_i) \leq 1, i=1, 2, 3, \dots, n \\ &m_i = m_{0,i}P + m'_i, t_i = t_{0,i}P + t'_i, \beta_i = \beta_{0,i} \end{aligned} \quad \left. \right\} \quad (14)$$

ここに、 $m_{0,i}$, $t_{0,i}$, $\beta_{0,i}$ は単位荷重 ($P=1$) に対する弾性モーメント、せん断力であり、 m'_i , t'_i は零荷重と釣合うモーメントであり、 i は平板の半径方向に等間隔で分割した時の網目点を表す。降伏関数 F は非線型であるので、(14) の問題は非線型計画法の問題となる。

Dantzig-Wolfe の Decomposition Method により、降伏曲線 $F(m_i, t_i, \beta_i) = 1$ 上の代表点、 \bar{m}_k , \bar{t}_k , $\bar{\beta}_k$, $k=1, 2, \dots, r$ を選べば、(14) の問題は、

$$\begin{aligned} &\text{Maximize } P \\ &\sum_{k=1}^r \alpha_i^k = 1, \sum_{k=1}^r \alpha_i^k \bar{\beta}_k - P \beta_{0,i} = 0 \\ &\sum_{k=1}^r \alpha_i^k (\bar{m}_k - t_k) + \frac{P}{24} \left(\sum_{k=1}^r \alpha_i^k (\bar{m}_k - \sum_{j=1}^{k-1} \alpha_j^k \bar{m}_j) \right) \\ &- P(m_{0,i} - t_{0,i}) - P \beta_i \left(\frac{dm_0}{dr} \right)_i = 0 \\ &\alpha_i^k \geq 0 \quad A = a/n-1, \beta_i = r_i/a. \end{aligned} \quad \left. \right\} \quad (15)$$

(15) は線型計画の問題であるので、シンプレックス法にて解くことができる。

$(\bar{m}_k, \bar{t}_k, \bar{\beta}_k)_{k=1, 2, \dots, r}$ を $(1, 0, 0)$, $(1, 1, 0)$, $(0, 1, 0)$, $(-1, 0, 0)$, $(-1, -1, 0)$, $(0, -1, 0)$, $(0, 0, 1)$ に選び、降伏条件式(2)における α を零とした場合の数値計算結果を図.4, 表.1 に示す。

なお、これらの中および表中のせん断力を考慮しない場合の値は、Tresca の降伏条件を用いた曲げ理論に基づく解析値と一致する。

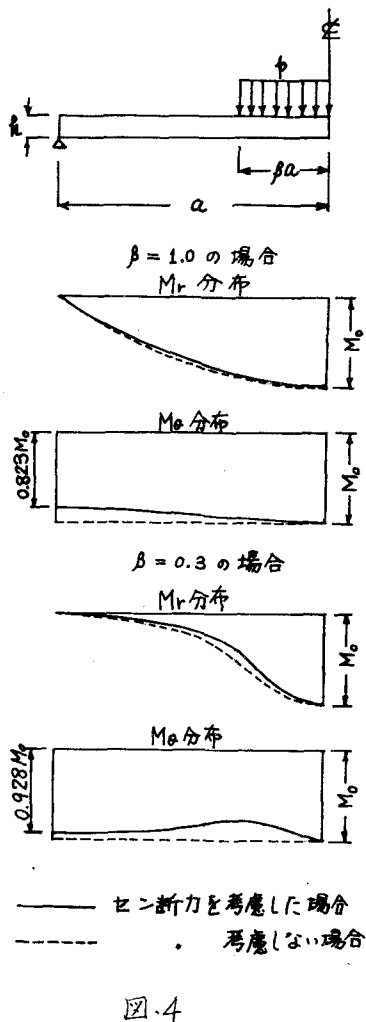


図.4

表 1 Limit Load (Pa^2/M_0)

β	Number of Mesh (n)	せん断力を考慮した時				
1.0	5 6 7 8 9 10	5.32	5.37	5.40	5.42	5.43 5.44 6.0 *
0.3	24.5 24.8 24.4 24.2 24.5 24.5	24.5	24.8	24.4	24.2	24.5 27.8 *

* Hopkins, Prager による値